

부상용 마그네트의 최적 설계에 관한 연구

임 달호*, 장석명**, 이주*, 이재봉**

* 한양대학교 전기공학과

** 충남대학교 전기공학과

A study on the optimization of electromagnet for levitation

Im Dal-Ho*, Jang Seok-Myeong**, Lee Joo*, Lee Jae-Bong**

* Han-Yang Univ.

** Chungnam National Univ.

Abstract

An electromagnet is one of the important devices in magnetic levitation system. Its weight takes large part in the total weight of a vehicle. That is the reason why it is important to design the electromagnet optimally to maximize the attraction force with constant volume.

This study presents the optimum value of the design variables which can produce the maximal attraction force under constant magnet volume. For this, non-linear programming in optimization technique is used. And to confirm reliability of the results, the optimally designed electromagnet is analyzed by FEM.

The attraction force of the optimally designed electromagnet is increased maximally 72 % compared with that of the basic model. And the results obtained by non-linear programming has 30 % error compared with that of FEM.

基本 모델 설정 및 磁氣 等價 回路

磁氣 浮上 列車의 浮上 裝置로 사용되는 그림 1과 같은 U 자형 常導導 電磁石를 最適化 技法을 적용하기 위한 대상 모델로 설정하였으며 구하고자 하는 각 변수들의 의미를 나타내었다.

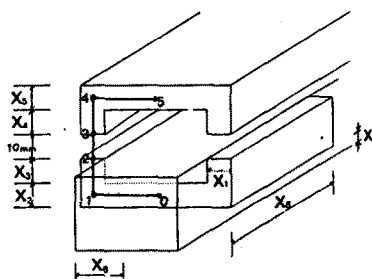


그림 1. 最適化 대상 모델

Fig. 1. Considering model for optimization

概要

電磁石는 많은 電氣機器에 사용되는 중요한 장치로서 전체 무게, 크기, 효율 등의 면에서 最適으로 설계되어야 한다. 이러한 개념으로 여러가지 방법에 의해 電磁石를 설계, 제작 하지만 일반적인 最適化 技法의 결여로 보통 施行誤差法에 의해 설계되는 것이 보통이다. 하지만 施行誤差法에 의한 설계는 많은 시간과 노력을 필요로 하며 또한 여러 제약下에서 最適의 설계치를 갖지 못한다. 따라서 무게, 크기, 효율 등의 면에서 最適인 설계를 하려면 일반적으로 용용 가능한 最適化 技法의 도입이 요구된다.(1)

본 논문에서는 磁氣 等價 回路를 이용한 最適화 技法을 연구하여 그 용용의 한 예로써 磁氣 浮上 列車의 浮上 시스템에 사용되는 電磁石를 대상으로 非線形 最適화 프로그래밍을 사용해 일정한 부피의 電磁石에서 최대의 힘을 발생 시킬 수 있는 설계 변수값들을 구하였다. 그렇게 구해진 설계값들의 신뢰성을 확인하기 위하여 磁氣 解析 方法으로서 정밀도가 높고 강력한 수단으로 알려진 有限要素法으로 해석하여 그 결과를 검토하였다.

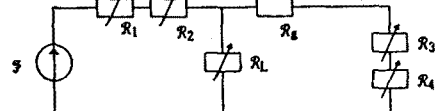


그림 2. 자기 등가 회로

Fig. 2. Equivalent magnetic circuit

여기서 각 磁氣抵抗 $R_1, R_2, R_3, R_4, R_5, R_L$ 은 다음과 같다. (2)

$$R_1 = \frac{0.5 X_1 + X_6}{\mu_1 \mu_0 X_2 \cdot X_8} : \text{경로 0-1 의 자기저항 (1)}$$

$$R_2 = \frac{0.5 X_2 + X_3}{\mu_1 \mu_0 X_1 \cdot X_8} : \text{경로 1-2 의 자기저항 (2)}$$

$$R_3 = \frac{0.5 X_5 + X_4}{\mu_2 \mu_0 X_1 \cdot X_8} : \text{경로 3-4 의 자기저항 (3)}$$

$$R_4 = \frac{0.5 X_1 + X_6}{\mu_{r2/10} X_5 \cdot X_8} : \text{경로 4-5 의 자기저항} \quad (4)$$

$$R_5 = \frac{g}{\mu_0 X_1 \cdot X_8} : \text{공극의 자기저항} \quad (5)$$

$$R_L = \frac{2 X_6}{\mu_0 X_3 \cdot X_8} : \text{누설 자기저항} \quad (6)$$

단, μ_0 : 공극에서의 투자율

μ_{r1} : 전자석 코아에서의 비투자율

μ_{r2} : 레일에서의 비투자율

最適化 문제의 定式化 및 有限要素法 解析

最適화 문제를 일반적인 형태로 기술하면 다음과 같이 표현된다. (3)

Find X : 설계 변수 벡터

Minimize $F(X)$: 목적 함수

Subject to

$C_i(X) = 0$ ($i=1, 2, \dots, m$) : m 개의 등식 제약 조건

$C_j(X) \leq 0$ ($j=1, 2, \dots, n$) : n 개의 부등식 제약 조건

A. 목적 함수

목적 함수로써는 浮上力 을 취하였으며 목적 함수를 수식으로 나타내면 다음과 같다.

Max[F(X)]

$$F(X) = \frac{s^2}{\mu_0 R_t S} [N]$$

$$\text{여기서, } s = k_p \frac{I}{a} A : \text{기자력} \quad [A \cdot T]$$

$k_p = \text{const.}$: 견적율

a : 코일 단면적 [m^2]

I : 입력 전류 [A]

$A = X_6 \cdot X_7$: 창 면적 [m^2]

$$R_t = \frac{[(R_1+R_2+R_L)(R_3+R_4+R_5+R_L) - R_L^2]^2}{R_L^2}$$

여기서, $R_1, R_2, R_3, R_4, R_5, R_L$ 은 式 (1)~(5)로 주어진다

$$S = X_1 \cdot X_8 : \text{空隙 단면적} [m^2]$$

B. 제약 조건

제약 조건은 다음과 같이 두었다.

가. 電磁石 및 線圈부피의 합은 一定하다.

나. 鐵心 内에서 磁束은 饱和되지 않는다.

$$B_1 \leq 1.2 [T] : \text{경로 0 - 1 의 자속}$$

$$B_2 \leq 1.2 [T] : \text{경로 1 - 2 의 자속}$$

$$B_3 \leq 1.2 [T] : \text{경로 3 - 4 의 자속}$$

$$B_4 \leq 1.2 [T] : \text{경로 4 - 5 의 자속}$$

다. 窓幅과 磁極幅의 합은 일정치 이하이다.

창폭 + 자극폭 $\leq \text{const.}$

라. 모든 변수는 일정 이상의 길이를 가져야 하고 최대 설정 치수 이하여야 한다.

(단위 : mm)

下限值	\leq	X_1	\leq	上限值
下限值	\leq	X_2	\leq	上限值
下限值	\leq	X_3	\leq	上限值
下限值	\leq	X_4	\leq	上限值
下限值	\leq	X_5	\leq	上限值
下限值	\leq	X_6	\leq	上限值
下限值	\leq	X_7	\leq	上限值
下限值	\leq	X_8	\leq	上限值

다음은 본 연구에서 설정한 초기 설계 변수값 및 최적화 시 허용되는 각 설계 변수값의 상한치와 하한치를 표로 나타내었다.

***** 초기 설계치 및 허용 상.하한치 *****

설계 변수	초기치	하한치	상한치
X_1	2.0000D-02	1.0000D-03	1.5000D-01
X_2	3.8000D-02	5.0000D-03	1.0000D-01
X_3	7.5000D-02	1.0000D-02	2.0000D-01
X_4	8.0000D-02	1.0000D-02	1.5000D-01
X_5	2.5000D-02	5.0000D-03	1.0000D-01
X_6	1.0000D-01	1.0000D-02	5.0000D-01
X_7	6.5000D-02	5.0000D-03	2.0000D-01
X_8	4.0000D-01	1.0000D-01	2.0000D-00

[단위 : mm]

표 1. 설계 변수들의 초기치 및 허용 상.하한치

Table 1. starting value, upper and lower value
of the design variables

또한, 제약 조건에서의 부피는 초기 설정 모델의 부피로 하였으며 창폭 + 자극폭은 150 mm로 하였으며 μ_{r1} 은 2000, μ_{r2} 은 3000 으로 하였다.

C. 有限要素法의 적용

最適化 技法에서 얻어진 설계치의 신뢰성을 확인하기 위하여 磁氣 해석 방법으로 정밀도가 인정된 有限要素法으로 해석을 수행하였다.

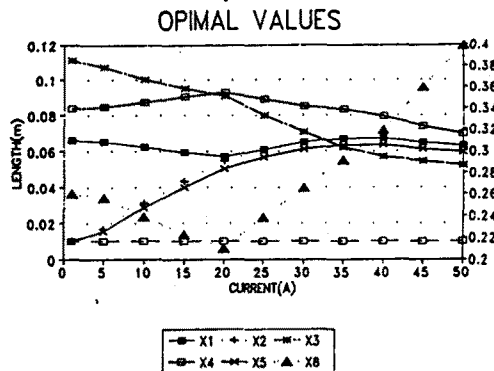
정지시, 몇 가지의 가정을 두고 2次元의 인 해석을 위한支配方程式을 유도하면 다음 식과 같다. (4)

$$\nabla(A) \left[\frac{\partial^2 A}{\partial x^2} + \frac{\partial^2 A}{\partial y^2} \right] = J_0$$

결과 및 검토

A. 연구 결과

본 연구에서 제안한 자기 등가 회로·최적화 기법을 이용하여 해석한 결과, 일정 전류치(5 A 간격)에서 최대의 부상력을 발생시킬 수 있는 최적 설계 변수값들은 그림 3과 같다.



	X_1	X_2	X_3	X_4	X_5	X_6	X_7	X_8
1 A	0.06623	0.010219	0.11135	0.01	0.009768	0.08377	0.11135	0.26064
5 A	0.06532	0.016545	0.10755	0.01	0.015056	0.08468	0.10755	0.25674
10 A	0.06247	0.031044	0.10052	0.01	0.028410	0.08753	0.10052	0.23922
15 A	0.05938	0.043583	0.09533	0.01	0.040017	0.09062	0.09533	0.22272
20 A	0.05691	0.054640	0.09107	0.01	0.050292	0.09310	0.09107	0.20988
25 A	0.05096	0.060956	0.08013	0.01	0.056745	0.08904	0.08013	0.23854
30 A	0.04946	0.064957	0.07053	0.01	0.061039	0.08504	0.07053	0.26608
35 A	0.06673	0.066727	0.06216	0.01	0.063176	0.08327	0.06216	0.29153
40 A	0.06696	0.066960	0.05707	0.01	0.063536	0.07951	0.05707	0.31943
45 A	0.06483	0.064833	0.05448	0.01	0.061321	0.07374	0.05448	0.35989
50 A	0.06288	0.062876	0.05201	0.01	0.059319	0.06930	0.05201	0.39917

그림 3. 일정 전류下에서의 각 최적 설계 변수값
Fig. 3. The values of optimized design variables
with constant input current

최적 설계된 모델을 유한요소법을 이용하여 해석한 결과는 그림 4와 같다.

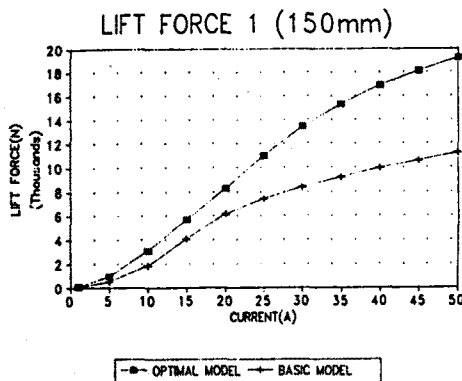


그림 4. 일정 입력 전류에서 최적 설계된 모델의 부상력
Fig. 4. The attraction force of the optimized model
having constant input current

해석 결과를 살펴보면 일정 부피, 일정 입력 전류 조건下에서 최적 설계된 전자석의 부상력은 입력 전류가 50(A)일 때 초기 모델에 비해 약 72%까지 증가되었으며, 특히 입력 전류를 크게 할 때 초기 모델에 대한 부상력의 개선비가 커짐을 알 수 있다. 그 이유는 초기 모델은 약 20 A의 입력 전류에서 포화되기 시작하여 부상력의 증가비가 상당히 떨어지는데 비하여 최적 설계된 모델에서는 입력 전류의 증가에 대하여 창포이 작아지게 설계변경 되고 기자력이 감소되고 따라서 포화를 피할 수 있기 때문이다.

그러나 각 일정 입력 전류下에서 최적 설계된 모델들의 부상력들을 살펴보면, 입력 전류의 증가에 따른 증가비가 작아지는 데 그 이유는 전자석의 부피를 일정하게 하는 제약조건으로 인하여 나타나는 것으로 사료된다.

또한, 레일의 폭이 결정되어 있을 경우 전자석의 설계시 $X_1 + X_6$ 의 폭이 결정되므로, $X_1 + X_6 = 125 \text{ mm}$ 로 제약조건을 주었을 경우, 최적 설계된 모델의 부상력은 그림 5와 같다.

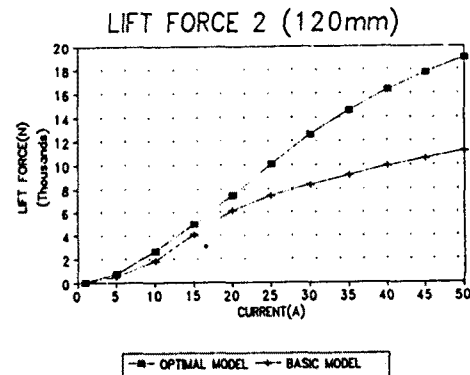


그림 5. $X_1 + X_6 = 125 \text{ mm}$ 일 때의 일정 입력 전류
下에서 최적 설계된 모델들의 부상력

Fig. 5. The attraction force of the optimized model
having constant input current when $X_1 + X_6 = 125 \text{ mm}$

이 경우 150 mm로 고정시켰을 경우에 비하여 부상력은 약 180 N 정도 떨어져 그 차이가 미미함을 알 수 있었다.

B. 제안된 최적화 기법의 신뢰성에 대하여

본 연구에서 제안한 자기 등가 회로를 이용해 정식화된 최적화 기법의 결과와 유한요소법을 이용한 해석 결과를 비교한 결과, 그림 6의 결과를 얻었다.

DEFFERENCE OF 2 ANALYSIS RESULTS 1

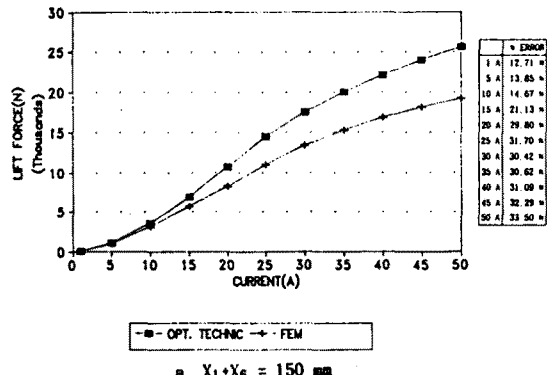


그림 6. 최적화 기법에 의한 부상력 결과와
유한요소법에 의한 부상력 해석 결과

Fig. 6. The attraction force of the optimized model
by non-linear programming and by FEM

DEFFERENCE OF 2 ANALYSIS RESULTS 2

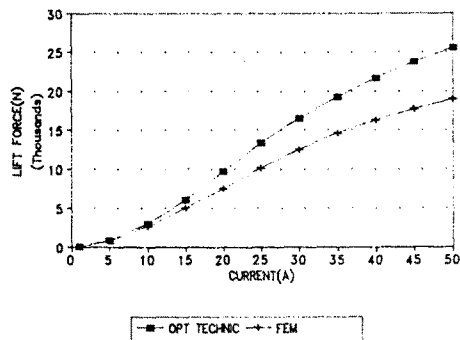


그림 6. 최적화 기법에 의한 부상력 결과와

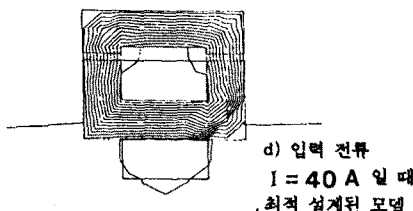
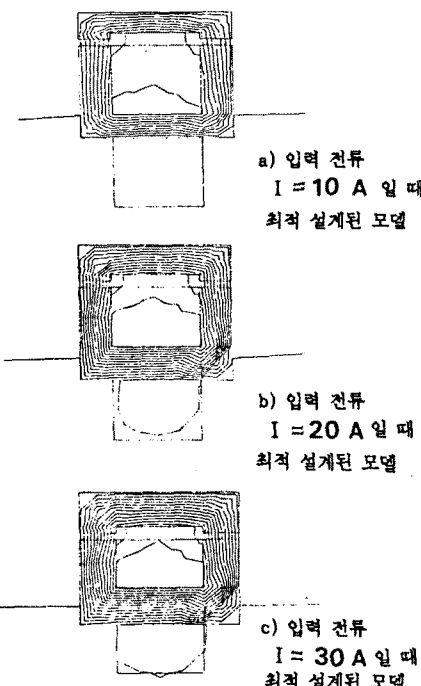
유한요소법에 의한 부상력 해석 결과

Fig. 6. The attraction force of the optimized model by non-linear programming and by FEM

본 연구 결과로 볼 때 제안된 기법은 관성 영역에서 약 30 A의 오차를 수반하고 있는데 이러한 오차는 가변 자기 저항을 선형으로 보고 해석하고, 또한 주변 자속(fringing flux)을 고려하지 못하였기 때문에 발생되는 것으로 사료된다. 그러나 그 오차 비율이 거의 일정하기 때문에 적절한 보상을 한다면 신뢰성이 증가될 것으로 본다.

C. 자속 분포도 및 최적 설계된 모델에서의 자속 밀도

다음은 일정 입력 전류下에서 최적 설계된 모델을 유한요소법으로 해석한 자속 분포도 및 각 입력 전류에 따라 최적 설계된 모델에서의 전자석 코어 내의 자속 밀도, 레일에서의 자속 밀도, 그리고 공극에서의 자속 밀도를 그림으로 나타낸 것이다.



d) 입력 전류
I = 40 A 일 때
최적 설계된 모델

그림 7. 최적 설계된 모델의 자속 분포도

Fig. 7. Distribution of magnetic flux

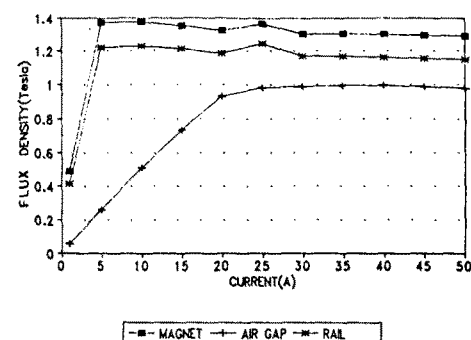


그림 8. 각 최적 설계 모델에서의 전자석 코아,
레일 및 공극에서의 자속 밀도

Fig. 8. Magnetic flux density of each optimally
designed model in the magnet core, rail and airgap

결론

본 연구에서는 전자석의 최적화를 위한 연구로 전자석 설계에 일반적으로 적용 가능한 최적화 기법을 제시하였다. 본 기법의 적용으로써 일정한 부피를 갖는 전자석에서 최대 부상력을 발생시킬 수 있는 최적 설계 변수값들을 구해 내었으며 또한 최적 설계모델을 유한요소법으로 해석하여 그 결과를 검증하였다.

연구 결과로 볼 때 제안된 최적 설계 기법을 이용한다면 중량을 최소화하는 문제, 효율을 최대화하는 문제, 단위 중량당 부상력을 최대화하는 문제 등에 응용이 가능할 것이다.

앞으로 보다 신뢰성 있는 결과를 얻기 위하여 비선형 해석을 고려한 최적화 기법 및 주변 자속(fringing flux)을 고려한 방법 등을 연구하여 보완해 나갈 것이다.

REFERENCES

- [1] C. J. Wu, F. C. Lee, R. K. Davis, "MINIMUM WEIGHT EI CORE AND POT CORE INDUCTOR AND TRANSFORMER DESIGNS," IEEE TRANS. on Magnetics, VOL. MAG-16, NO. 5, SEPTEMBER 1980
- [2] H. C. Roters, Electromagnetic Devices, Wiley, New York, 1942
- [3] S. S. RAO, OPTIMIZATION, John Wiley & Sons, New York, 1984
- [4] 任達鏞, 電氣系의 有限要素法, 東明社, 1987